



第二屆和平利用原子能國際會議文獻

核燃料和废物处理

6

中国科学院原子核科学委员会編輯委员会編
科学出版社出版

核燃料和废物处理(6)

中国科学院原子核科学委员会编辑委员会编

*

科学出版社出版 (北京朝阳门大街 117 号)

北京市书刊出版业营业登记证字第 061 号

中国科学院印刷厂印刷 新华书店总经售

*

1962 年 2 月第一版 书号：2466 字数：137,000

1962 年 2 月第一次印刷 开本：787×1092 1/16

(京) 0001—4,600 印张：6 1/2

定价：0.82 元

目 录

P/27	某些低合金鈾合金中相变的特点.....	1
P/49	鈾及其合金的高温特性.....	16
P/789	鎔-鈾-氫三元合金的制备及其特性.....	37
P/1855	鈾的金相研究.....	45
P/2099	U_3O_8 結構的确定	56
P/2182	苏联第一个原子能发电站照射后的释热元件重新处理的若干特点.....	69
P/2191	鈾的組織及性質对鈾在辐照下的行为的影响.....	73
P/2206	在醚萃取过程中裂片元素的分配.....	84
P/2253	用干法回收被照射过的鈾.....	90
P/2490	UO_2-ZrO_2 与 ThO_2-ZrO_2 系状态图.....	97

某些低合金鈾合金中相变的特点*

M. D. 傑普森 R. B. 凱荷 R. W. 尼科尔斯

G. F. 斯萊特瑞**

金属鈾燃料在辐射下的行为在一系列的报告中詳細地討論过了^[1]。这些报告中指出三个重要的效应：1) 各向异性生长，或发生表面粗糙不平；2) 在辐射下的蠕变及引起垂直安放的释热元件畸变的热蠕变；3) 惰性气体的扩散及肿胀。

所有这三个效应虽然程度不同但都是結構敏感的，然而把它們的影响減至最小的这种嘗試对燃料結構的要求是相矛盾的。

产生的粗糙不平显著地取决于晶粒度。比如具有細小取向无序的結構的鈾做成的制件形状畸变最小，而当粗晶粒結構时抗蠕变性增加。

因此，测量及检查晶粒大小具有首要的意义，这就必須研究所有可能做核燃料用的合金中相变动力学及其特点。

个别相的颗粒形状及分布可以对蠕变及肿胀有很大影响。如果为了反应堆經濟地工作需要在整个時間內都保持一定性能，那么就應該既保証这些相的稳定性，又保証晶粒度的稳定性。

在研究高抗蠕变性合金^[2]的同时順便也在几年之内积累了一系列以工业用鈾为基础的二元及更复杂的合金的結構及热处理的数据。因为具有大俘获热中子横截面的合金加入剂的含量是有限的，所有这些合金都适用做热反应堆的燃料。合金加入剂的总量通常不超过 1 原子%，且由于还缺乏在这个区域的相图的詳細数据，所以必需进行研究。必需或是确定許多在合金化时所得的及原来金属中存在的相，或是拟訂出能区别这些相与它們的分布很相似的杂质相的方法。

本报告是含有一种或数种下列金属：如鋁、鉻、鐵、鉬、銻、硅、鈦、釔及鎵的低合金鈾合金相及膨胀分析所得結果的綜合。

工 业 純 鈾

确定杂质相 在本研究中所用的工业純鈾是用镁热还原四氟化鈾制成，随后把鈾锭再熔一次并鑄成 25 毫米左右的棒。金属中典型的杂质含量如下(重量百分数)：

* 第二届和平利用原子能国际会议文献，A/CONE. 15/P/27，1958 年 6 月。

** 某些鈾合金稀釋的变化状态(第 27 号报告, 英国)。M. D. Jepson, R. B. Kehoe, R. W. Nichols, G. F. Slattery (美国原子能当局, 工业组织)。

C	O	W	H	Fe	Al	Si	Cr	Mn
0.07	0.0015	0.002	0.0002	0.01	0.004	0.002	0.005	0.0015

属于通常铀中所含的夹杂物有：碳化物、氧化物及氮化物，还有各种金属间的化合物，常呈网状。铀结构独具的这些特点可以在磨片中用显微镜观察到，磨片是在磨粉纸上制成并在“selvyt”砂轮上以氧化铝或金刚石糊抛光，然后在下列成分的溶液中电解抛光： H_2SO_4 、 H_3PO_4 、 CH_3COH 及 H_2O 比例 1:1:2:1。

铀的碳化物夹杂为具有清晰棱角的单个颗粒状，可以看成是立方体（图 1）。在 50% HNO_3 溶液中浸蚀可以引起这些立方体变黑。X-线结构分析检查也证实了立方体结构的假定，但并不排除其中 UO_2 及 UN 溶解的可能性。存在的碳的数量大大超过固态铀中的溶解度极限，因此热处理对立方体没有影响。

在铀中也可以观察到复杂的立方体（图 2），其中有：碳化铀、氧化铀及可能有氮化铀，它们乃是晶形化合物。

一氧化铀呈椭圆形的容易抛光的夹杂物存在，其边缘略受侵蚀，但在硝酸中没有被着色（参阅图 1）。一氮化铀只有在个别情况下能观察到，呈亮灰色围绕着夹渣分布，硝酸既不能侵蚀也不能使一氮化物着色。然而，在电解浸蚀时，在 10% 的铬酸水溶液中能够得到边缘略受侵蚀的一氮化物夹杂。

二氧化铀夹杂极少见到（图 3），通常二氧化物呈表面污染物状存在。抛光以后二氧化铀是紫色，在偏光下观察则为淡红的干扰色。在个别情况下可以看到“絮状”夹杂物。它们可以是因有氮化铀的存在而引起，并且是针状的暗颗粒，周围是棕色条纹（图 4）。

网状结构的存在（图 5）是由铝、铁及硅夹杂引起的。在淬火的铸态材料中，杂质沿晶粒边界呈单个的析出物，但是在退火之后形成共析结构。“网”可以在一般的抛光之后观察到，但是用浸蚀法可以最清楚地显示出来。 UAl_2 相在电解浸蚀（用 2% 的柠檬酸及 0.5% 的硝酸混合物在 6 伏特电压时浸蚀 40 秒）之后可以观察到。 U_6Fe 用浸入等体积的硝酸及醋酸组成的浸蚀剂经 10—15 分钟可以最清楚地显出。

晶粒结构 铀晶粒的结构最好是在阳极浸蚀（在 12 克 CrO_3 ，200 毫升 H_3PO_4 及 50 毫升 H_2O 溶液中以增加晶粒反差）之后在偏光中显示出来。铸态铀的结构不固定，由达数毫米直径的晶粒组成。用微电子束做工业纯铀的 X-线研究表明^[1]：通常在显微镜下观察的大晶粒，一般都分裂成 1—10 微米的亚晶粒，它们的取向只差几度。退火对这种亚结构没有影响，可以用显微镜看到它（图 6）。在用电解法和电子轰击加热炉熔炼得到的含杂质总量少于百万分之 100 的更高纯度的铀中，退火之后没有看到这种细的亚结构，而它的大晶粒的尺寸，也就是在取向完全不同的晶粒间的距离为 50 微米。

工业纯铀特有的粗大晶粒必需细磨。实践表明：当晶粒度减小到 0.3 毫米以下时表面粗糙实际上便已消失，即粗糙度减小到具有一般晶粒的金属表面粗糙度的 1/10 以下。下面几节里用“满意细磨”这个术语来描述这种晶粒尺寸减小。



图1. 橙圆形的 UO_2 夹杂(亮的)及 UC 的立方体(黑色)。
浸蚀剂—50%硝酸。($\times 400$)

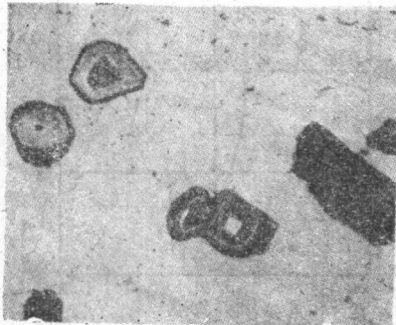


图2. 复杂的 UC 立方体带有氧化物及氮化物。浸蚀剂—50% HNO_3 。($\times 400$)

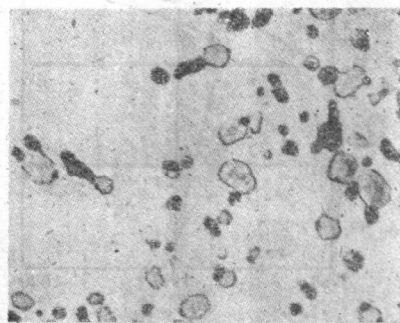


图3. UO_2 (暗)及 UO (亮)夹杂。未浸蚀。
($\times 400$)

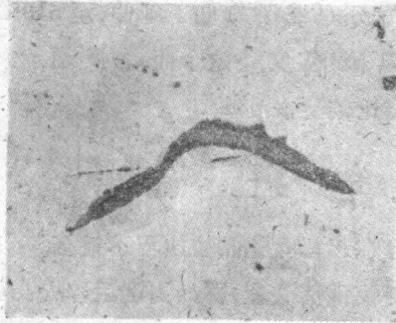


图4. “絮状”夹杂,大約是氢化铀。
($\times 400$)

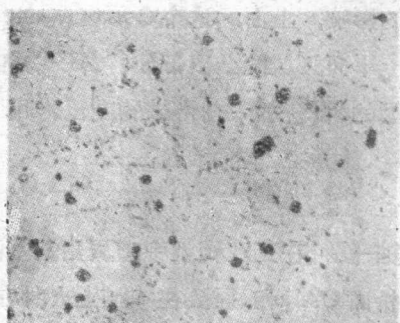
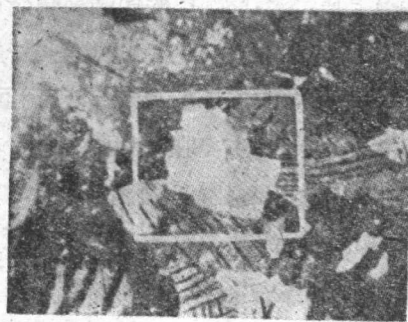


图5. 典型的有网状的铀的结构。在硝酸及柠檬酸混合物中电解浸蚀之后。
($\times 400$)



(a)
a——典型的, δ ——具有亚结构的典型晶粒, 試樣旋轉后觀察到的。偏極光下攝制。($\times 220$)



(δ)

图6. 钔的大晶粒

自 β 及 γ 区淬火法热处理可以仅使这种鈾的很薄的表面层或是使具有很細的横截面的試样结构細磨。

相变特点 相变所需时间与温度间的关系曲线根据长 25.4 直径 3.175 毫米的試样膨胀分析数据做出的，在所有情况下試样預先在 720°C 保温 30 分钟，然后在鉛浴中淬火以便进行等温相变。試样在 5 秒钟左右的时间内便获得鉛浴的温度。

在图 7 上所举出的高純度鈾相变时间与温度间的关系曲线具有一个 C 形区。工业純鈾的相应曲线具有两个 C 形区（图 8），而上面的一个不大，显然它反映了加入其中的附加

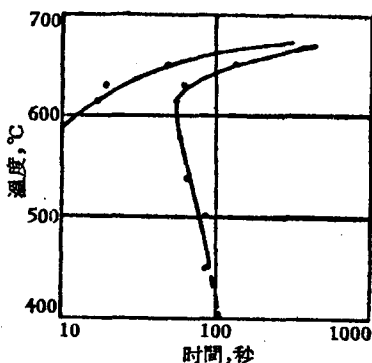


图 7. 高純度鈾等溫相变曲綫

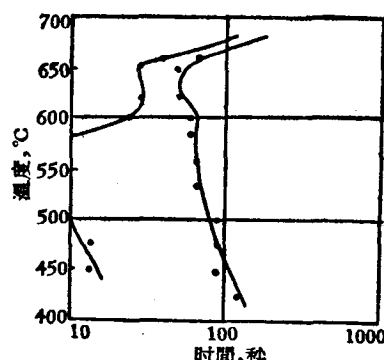


图 8. 工业純鈾等溫相变曲綫

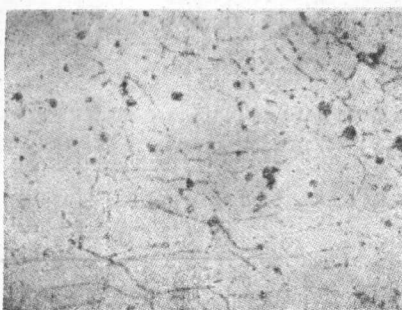
杂质的影响。上面的这个 C 形区在 640°C 具有凸出部分（“鼻子”）向下延伸，至 610°C 时断开。下面区域的凸出部分（“鼻子”）相当于 570°C 以下的温度。这个曲綫对于工业純鈾是典型的，合金加入剂带来的变化将用它与标准曲綫比較法来叙述。

二 元 合 金

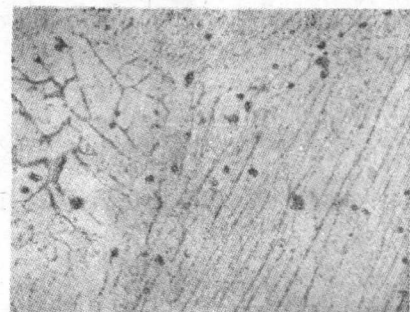
鈾-鋁 在工业純鈾中杂质鋁是呈断續的网状存在，与 α 相晶粒边界不重合。为了完全析出 UAl_2 相，需要在 γ 相退火并在炉中冷却；更快地热处理，譬如浇鑄后淬火会引起 UAl_2 不完全析出。在 γ 相退过火的試样中，析出的网状 UAl_2 的数量及鋁的含量之間是較一致的（图 9, a, b, c）。

平衡图的一般形状以前已經发表过了。关于达 1.5 原子% Al 的平衡图的鈾角的更詳細報導已經在以工业純鈾为基的合金上得到（图 10）。在 1.4 原子% Al 时发生共析反应（ γ -鈾 \rightarrow β -鈾 + UAl_2 ）。鋁在 β 鈾中最大的溶解度約为 1 原子%（在 750°C）。 β 相中共析分解的証明尚不存在，而鋁在 α 鈾中的溶解度小于 0.08 原子%。在 γ 相退火随后在水中淬火可保持鋁在溶液中。以后在 550°C 在 α 相中退火会引起鋁呈細瀰散状析出，这与鑄态的网状结构完全不同。析出物产生在 α 鈾大晶粒的内部及周围，也能描繪出亚晶粒的輪廓。

自 γ 区淬火可以引起晶粒比自 β 区淬火更強烈地細磨，在实际上因为鈾中含鋁較高会发生裂紋，故不利用这种淬火。用反摄影法得的 X 線譜表明在淬火之后点陣畸变了，并且



(a)



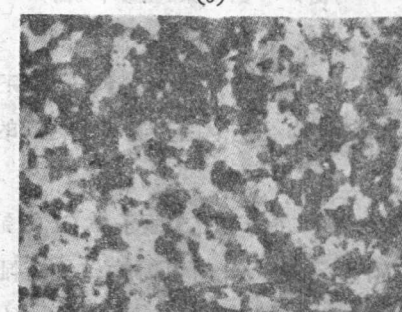
(b)

图 9. 钛合金

α —含 0.65 原子%Al; δ —钛与 0.83 原子%Al 的合金; θ —钛与 1 原子% Al 的合金。合金在 γ -相退火，并在炉中冷却。 $(\times 185)$



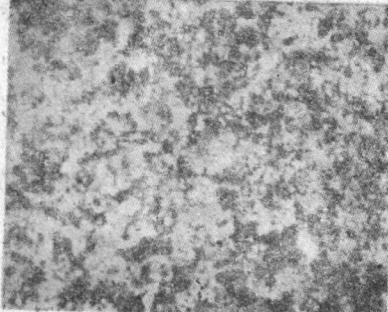
(a)



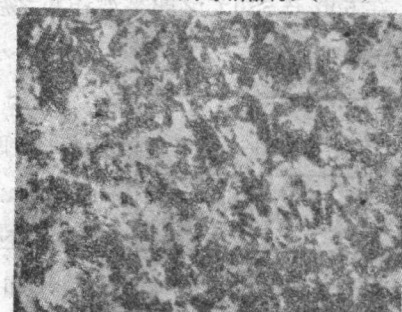
(b)

图 12. 钛合金

α —含 0.5 原子%Cr, 浇铸后, $(\times 25)$; δ —在 550°C 等温相变之后, 等轴结构。 $(\times 25)$



(a)



(b)

图 13. 含 0.5 原子%Cr 的钛合金

α —针状结构 $(\times 75)$; δ —在 550°C 相变并在 500°C 保温 12 小时之后, 合金在硝酸与柠檬酸的混合液中浸蚀。

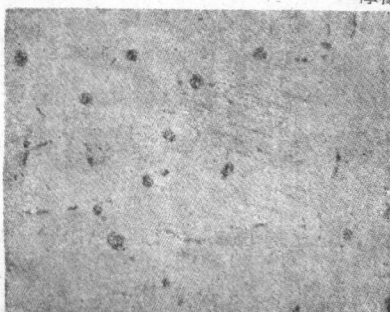


图 14. 含 0.5 原子% Cr 的钛合金在 500°C 相变之后, 可见到弯曲的晶界。

RJSM 67/04

为了完成析出过程必需在 550°C 在 α 相退火 15 小时。淬火后所得的细晶粒结构在 550°C 以下退火时是稳定的，而且在晶界上析出能阻碍晶粒长大，因而可以促进这种作用。

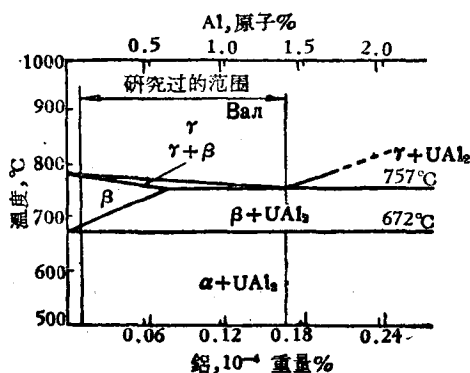


图 10. 钽-铝系的初步平衡图
(到 0.16 重量% Al)

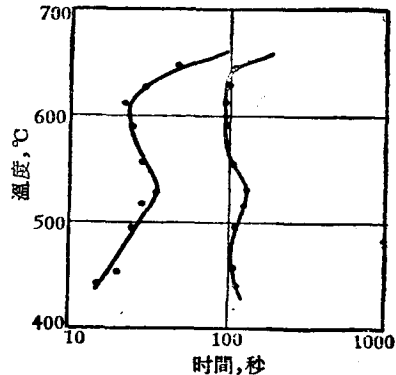


图 11. 钽与 0.5 原子% Al 合金
等温相变图

含 0.5 原子% Al 的合金的等温相变图 (图 11) 具有两个 C 形区，与工业纯钽一样；但是上部区域的温度范围较宽，在更低的温度则开始有滑移（马氏体）型相变，且孕育期增长。

钽-铬 在含有 0.5 原子% Cr 的钽合金中晶粒可能用在 β 区加热随后在 550°C 等温相变的方法细磨，此时可得均匀的等轴结构，晶粒度不超过 0.15—0.2 毫米（图 12, a, b）。降低相变的温度可以减小晶粒尺寸，但其边界是断开的（图 13, a），而在低于 500°C 的温度，则产生针状结构（图 13, b）。

在 500 及 550°C 之间等温相变之后，含 0.5 原子% Cr 的钽合金是单相的，但不具有平衡的结构，因为在 550°C 重复退火 12 小时会有未知的杂质相沿晶界析出（图 14）。

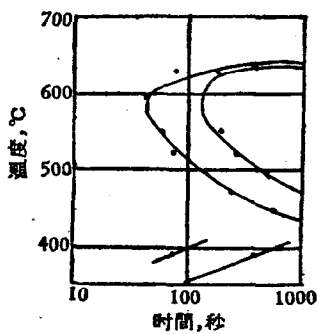


图 15. 含 0.5 原子% Cr 的钽
合金等温相变曲线

含 0.5 原子% Cr 的钽合金的相变时间与温度间的关系曲线（图 15）是由两个 C 形区组成，它们之间有很清晰的间隔。上面区域的“鼻子”在 575°C ，它略高于细化晶粒的等温相变最适宜温度。

和工业纯钽相比，在这种情况下可达到 β 相显著地稳定化。这种稳定化是如此之强，以致于在水中淬火时在低温便可以发生相变，在这种温度 β 相是脆的，因而引起急剧的开裂。

钽-铁 钽-铁系平衡图的钽角用工业纯钽在 1 原子% 以下的范围内重新详细考察过（图 16）。发现了铁在 β 钽中的最大溶解度大约等于 0.5 原子%；且在 0.2 原子% Fe 时，固溶体发生共析分解成为 U_6Fe 及 α 钽。铁在 α 钽中的溶解度太小了以致于不能测中。

自 750°C 在水中淬火可以达到晶粒很好地细磨，但过剩的铁会引起 β 相保持下来，并

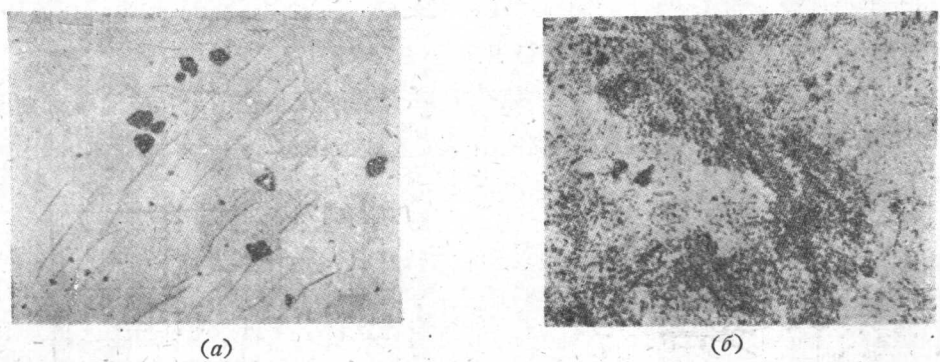


图 18. 含 0.5 原子% Mo 的铀合金
a——自 720°C淬火于水中； b——在 550°C退火 1 小时，合金经过了浸蚀。($\times 400$)



图 19. 含 0.5 原子% Mo 的铀合金
a——在 600°C 等温相变之后； b——在 550°C 等温相变之后，合金经过了浸蚀。($\times 400$)

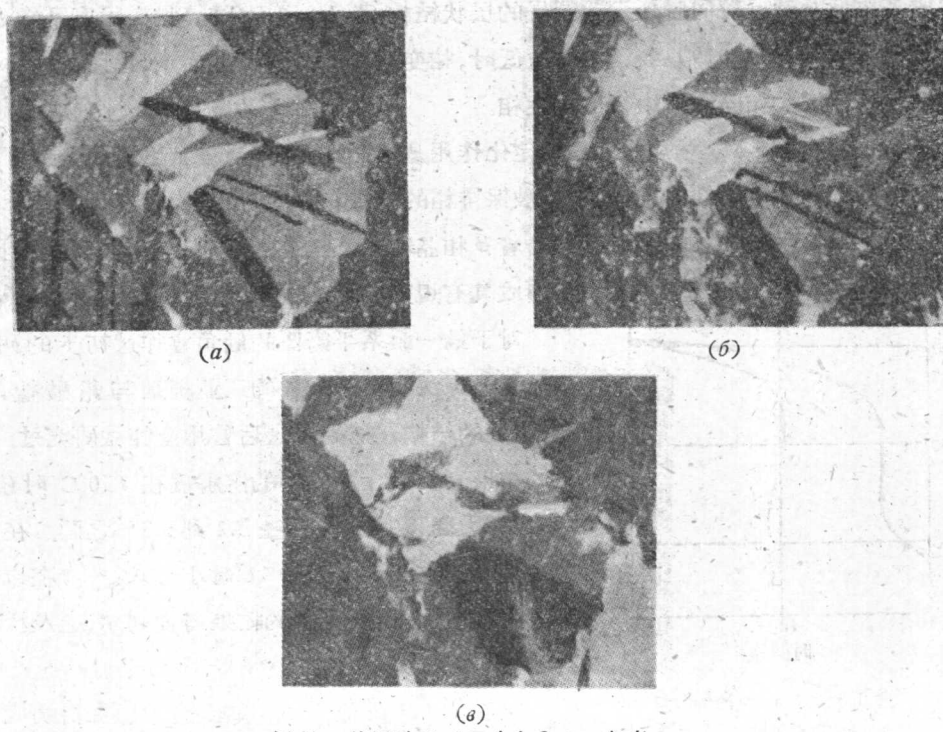


图 20. 室温时 U-Mo 合金 $\beta \rightarrow \alpha$ 相变
a——淬火后 20 小时； b——淬火后 24 小时； c—— β 相晶粒完全转变。($\times 110$)

且在晶界上形成粗粒析出 U_6Fe 的同时产生淬火裂纹。在铁含量更低时，它可以保持在溶液中，但是在以后退火时呈细的分散状析出。

相变(图 17)的研究表明，加入 0.25 原子% Fe 的影响反映在增大相变前孕育期上，而且阻碍着滑移相变。上部 C 形区的温度范围与工业纯铀相同。

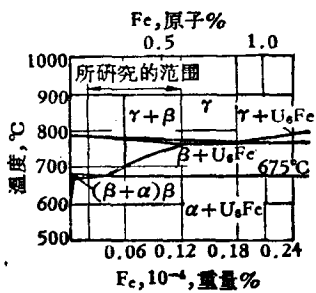


图 16. 铼-铁(达 0.12 重量% Fe)
系的初步平衡图

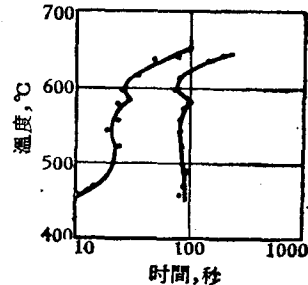


图 17. 含 0.25 原子% Fe 的铀合金等温相变曲线

铀-钼 加入 0.5 原子% Mo 不能促使热处理时晶粒细化，只有在试样具有细的横截面的区域才能以自 β 相淬火的方法达到晶粒细化。含钼丰富的相可以溶解在 β 铼中，且淬火于水中可以完全保持这种相成溶液状(图 18, a)。以后在 α 区退火会引起该相呈细分散状析出(图 18, b)。

如果在 550°C 以上发生 $\beta \rightarrow \alpha$ 相的等温相变，那末在 β 相以形成晶核及扩散的方法分解成多边形 α 铼晶粒同时还发生明显的层状结构(图 19, a)。随着相变温度下降，这种层状共析体细化(图 19, b)。当温度更低时，相变的滑移机构发生作用，自发生过 $\beta \rightarrow \alpha$ 相变的过饱和的 α 相固溶体中析出次生相。

加入 0.5 原子% Mo 对 β 相铀的稳定性作用是极微小的，因为自 β 区淬火于水中会引起 β 相仅在沿试样边缘处出现。这个被保持相的相变在室温时以滑移机构进行， α 铼晶

体沿着 β 相晶粒内部一定的方向呈层状及针状生长，并形成具有规则的 α 相结构的小晶块(图 20, a, b, c)。

对于铀-钼系平衡图的铀角曾作过初步的研究。用电弧熔炼法制出一系列的工业纯铀与钼酸盐的合金，它们的结构在热处理之后曾用金相法研究过。研究的结果表明钼在 β 铼中的溶解度在 750°C 时在 0.1 到 0.2% 之间，在 700°C 时在 0.2 到 0.3% 之间。在 α 铼中的溶解度在 625°C 及 600°C 时小于 0.1%。在以前公布的平衡图^[6,7] 中所列举的结果与舍列尔、鲁及沃根的数据^[7] 比较一致。

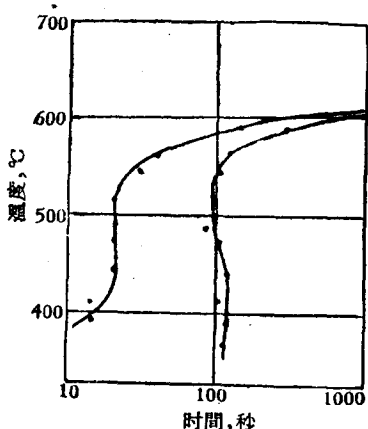


图 21. 含 0.5 原子% Mo 的铀合金等温相变曲线

对于含 0.5 原子% Mo 的合金的膨胀计研究(图 21)表明：相当于形成晶核及扩散相变机构的上部 C 形

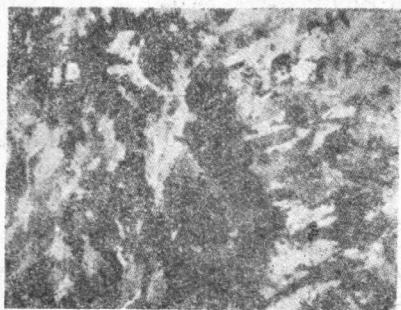


图 23. 含 1 原子%V 的鈮合金，电解浸蝕。
($\times 26$)



图 24. 含 1 原子%V 的鈮合金，自 900°C
慢冷却，电解浸蝕。($\times 225$)

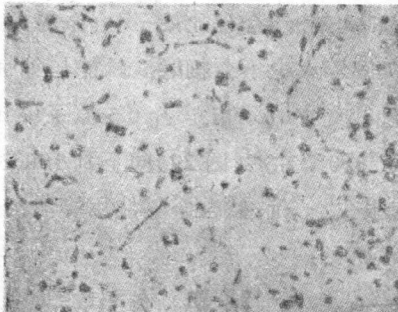
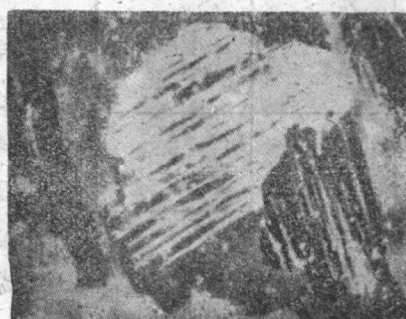


图 27. 含 0.5 原子%Cr 及 0.85 原子%Fe 的鈮合金，在 500°C
相变之后，在硝酸及檸檬酸混合液中浸蝕。($\times 300$)



(a)



(b)



(c)

图 29. 含有小量硅及鐵加入劑的鈮的等溫相变
a——在 280°C 保溫 5 分鐘之后， α 相沿着一个基本方向形成 ($\times 185$)；
 δ ——在 280°C 保溫 10
分鐘之后，相变几乎完全停止；
 δ ——在 280°C 保溫 25 分鐘之后，相变停止。

区比鈾的移向温度更低得多,且延伸至 450°C ,而它的上端渐近于 620°C ,这与金相研究是一致的。在此时 β 相稳定化的趋势是不显著的。

鈾-铌 含铌小于1原子%的合金不能用热处理法细磨。当含1原子% Nb时自 γ 区淬火可得到一些晶粒细磨,但是同时发生表面裂纹。在 $450-550^{\circ}\text{C}$ 范围内等温相变不能使铸态金属晶粒细磨,但加入铬可以细磨。

鈾-硅 加入少量硅可以促使鈾在自 β 区于水中淬火时晶粒细磨。硅含量增加到0.8原子%则使 β 区强烈地稳定化,比加入等当量的铁较大。自 γ 区淬火会引起试样开裂,这是由于 β 相强烈地稳定化所引起的。如果硅及铁共同存在,可以近似地认为这两者的稳定作用是相加的。

鈾-钛 含到1原子% Ti的鈾-钛合金比鈺-铌合金对热处理是较不敏感的,因为含1原子% Ti的合金甚至自 γ 区淬火也不会细磨。钛能与鈺中的碳反应,改变合金成分及碳化物的形状,但不会严重地改变它的分布。含0.5原子% Ti的合金的等温相变曲线具有很宽的上部C形区,它通过 670°C 左右(图22)向下到 500°C 下部区域的开端,在整个这个温度范围内孕育期的改变很少。鈺-钛合金不能用等温热处理法细磨晶粒,和鈺-铌合金一样,只能用加入铬的方法细磨。

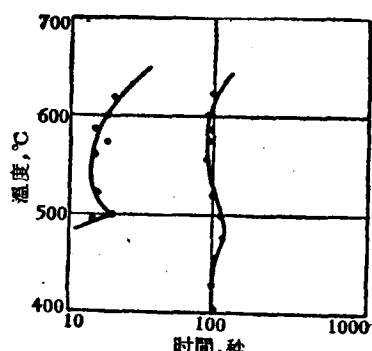


图22. 含0.5原子% Ti的鈺合金等温相变曲线

鈺-钒 在文章^[8]中所列举的鈺-钒系平衡图是很简单的共晶型的,没有中间相。

γ 及 β 鈺的固溶体按共析反应分解,形成相应的鈺相及富含钒的固溶体。以前曾找出钒在 γ 、 β 及 α 鈺中的最大溶解度相应地为10.2及1原子%。然而,我们以工业纯鈺为基础的合金做金相研究,结果不能不设想上述在 β 及 α 相中的溶解度值太高了,根据这个研究认为在 730°C 钒在 β 鈺中的溶解度小于0.54原子%,在 α 鈺中更小得多。

以工业纯鈺为基础的鈺-钒合金的晶粒可以用标准的热处理细磨,这一点已有确凿的证明。含1原子% V的合金可以用 γ -淬火的方法细磨,而不能用 β 淬火;某些合金在 γ 淬火时能保持 β 相。在室温或接近室温发生相变并形成不平衡的针状结构(图23),这种结构在制造金相磨片时常产生,此种情况即显示出了保持 β 相的能力。如果在此时能以避免裂纹形成的话,含0.5原子% V的鈺合金最好是用在接近 500°C 等温相变的方法细磨。快速的感应加热及自 γ 及 β 区在水流中淬火从得到细晶粒的观点上来说是比一般的退火及在水浴中淬火更有效的。很可能这是由于在短时间退火时高温相晶粒生长较少。在含1原子% V的合金中可以得到一有趣的效应:自 γ 区缓慢冷却可以导致自 β 相形成粗晶粒的具有其他针状相的共析结构(图24)。重复热处理不能再得到相似的针状结构。在含2原子% V的合金中也观察到相似的结构。利用在一角度下摄下的试片X线谱及粉末摄谱来试图证明这个结构是相同的,但未成功。可以

假定这些針狀結構是富于鈦的固溶體；如果這是正確的，則它們的產生應取決於在 $\gamma \rightarrow \beta$ 相變溫度範圍內的特殊冷卻條件。顯然，這些條件是只有在第一次熱處理時才能滿足，而在以後則不能。含 2 原子% V 合金的細晶粒結構可以用硬模澆鑄的方法得到，這也是很特別的。

含 2 原子% V 的合金相變時間與溫度關係曲線（圖 25）的上部間隔通過比鈾的相似間隔低 70°C 的地方，且下部間隔的開始處是與 540°C 左右的溫度相當。它也具有那種獨具的特點：即在 500°C 以下孕育期不變化，大約為 23 秒。

鈾-鎔 含鎔 2 原子% 以下的合金在從 γ 及 β 區淬火時可以很好地細磨。鎔與鈦相似，趨向於在鈾中形成碳化物，甚至於在那些低合金中，通常澆鑄及在 β 區熱處理不能細磨碳化物析出，但是可能在 γ 相高溫區熱處理會導致更細的瀰散度。

複雜合金

鈾-鉑-鉻 加入鉑可以提高工業純鈾的抗蠕變性，但二元合金不能用熱處理法細磨。因為鉻可以很好地穩定 β 相，所以可以用它做促進細磨晶粒的加入劑。對於三元合金來說，需要等溫處理，因為在水中淬火會引起材料開裂。

在 500°C 以上時形成多邊形的 α 鈾晶粒，而針狀結構是用在 500 及 450°C 之間相變的方法產生的。在可以更強烈地穩定化的合金中，例如含有 0.375 原子% Mo 及 0.375 原子% Cr 的合金中，在以 3°C/分鐘的速度從相當於 β 或 γ 區的溫度連續冷卻之後可以達到細磨的作用。在 600°C 退火 24 小時不能看出晶粒長大。

第二相完全溶解在 β 相中。含 0.375 原子% Mo 的二元合金的結構在 500°C 以上相變以後完全是共析型的，且在加入達 0.375 原子% Cr 以後也不改變。

曾經得出可以描述 0.125% Mo 及 0.125% Cr、0.125% Mo 及 0.375% Cr 與 0.5% Mo 及 0.5% Cr 的合金相變時間與溫度關係的曲線，此時似乎隨著自一個合金過渡到另一合金曲線的變化愈來愈大。

相當於曲線的上 C 形區“鼻子”的溫度保持不變，但是孕育期增長了：自 25 秒增到 250 秒。增加合金加入劑的含量可以使兩區之間的間隔展寬，並且顯著地增長相應溫度的孕育期。這些在圖 26, a, b, c 中可看到。

含有小量合金加入劑的合金開始相變前的孕育期大大超過含 0.5 原子% Cr 及 0.5 原子% Mo 的兩個二元合金的相應孕育期的總和。

鈾-鉻-鐵 做為杂质存在的鐵可以使含 0.5 原子% Cr 的鈾合金在給定的等溫相變溫度時增大晶粒度，而同時降低針狀結構形成的溫度。而當鐵含量增加到 0.34 原子% 時，晶粒度更大了；可是再增加鐵含量到 0.85 原子% 時幾乎不影響晶粒大小。加入鐵可

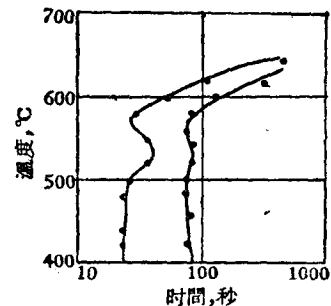


圖 25. 含 2 原子% V 的鈾等溫相變曲線

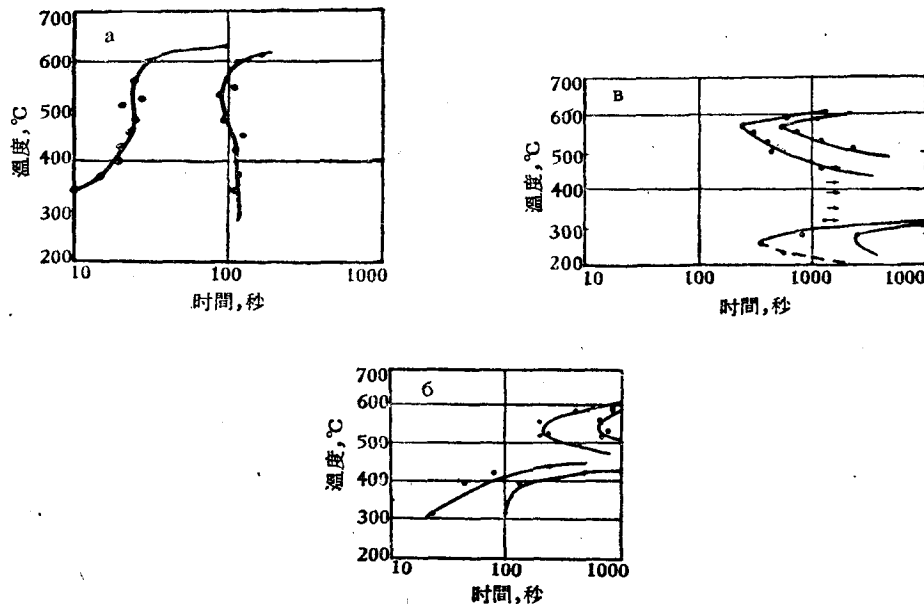


图 26. 钛合金等温相变曲线

a—含 0.125 原子% Mo 及 0.125 原子% Cr; b—含 0.125 原子% Mo 及 0.375 原子% Cr;
c—含 0.5 原子% Mo 及 0.5 原子% Cr

以引起形成一种相，它是在含 0.5 原子% Cr 的二元钛合金中经 500°C 等温相变之后所不存在的(图 27)。

加入 0.2 原子% Fe 至含有 0.5 原子% Cr 的钛合金中可以引起孕育期通常下降到原有的 1/5。相当于上 C 形区“鼻子”以及曲线中间部分折断的温度下降 50°C (图 28)。

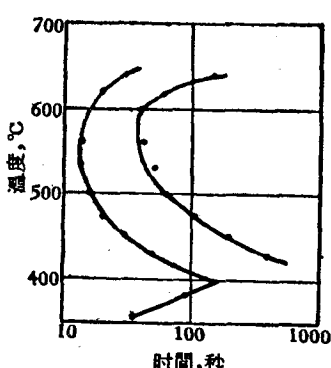


图 28. 含 0.5 原子% Cr 及 0.2 原子% Fe 的钛等温相变曲线

钛-铬-铝 在含 0.5 原子% Cr 的钛合金中铝对晶粒大小的影响很弱。比如，含 0.2% Al 的合金在热处理之后晶粒大小与二元合金相同。

钛-钼-铁 铁的存在可以加强由于钼的存在引起的 β 相微小稳定化作用，且总的效应超过根据简单相加的计算值。加入少量铁对于含 0.5 原子% Mo 的钛合金在相变之后所产生的结构没有影响，这种结构显然是和以前一样仍是共析型的。含 0.5 原子% Mo 及 0.875 原子% Fe 的合金的次生相可以完全溶解在 β -钛中，并且以淬火的方法可以保持在溶液中。

钛-硅-铁 在含有少量铁及硅加入剂的合金中，在 β 处理之后看到在 280°C 即有相变，它显然是以滑移机构进行的；在某些晶粒中，滑移仅是沿着一个基本的方向进行。所得到的 α -钛晶粒在形状及尺寸上与 β -钛母体晶粒相似(图 29)。由于相变温度不同，滑移可能沿着一个，或是数个方向进行。当以一个方向滑移相变时，由于合金化或缩短热

处理时间(热处理温度相当于 β 相存在区的下部范围的温度)等方法限制 β 相的晶粒大小可以促使 α -钛最终的晶粒度减小。

討 論

在討論上节所总结出来的数据时不能設想从可否利用这些数据进行設計改良的释热元件的观点出发来研究它們,也不能設想研究它們对于钛性能的影响。研究晶粒細磨实验結果整个說来是为了确定合金化对钛结构的影响的一般規律性。

已經令人信服地表明^[9], 在純钛中有滑移相变机构发生。“滑移机构”这个名詞应理解为: α 相的子晶粒的生成是以引起各点陣面共同运动的滑移方式进行的,由于这种运动的结果,在母晶粒及子晶粒的取向之間产生一定的关系。所生成的晶核可能或是以繼續滑移、或是以扩散的方式、或是由于这两个过程共同作用而长大。可以預料在低温时,过程仅是依滑移方式进行。

大家都知道,杂质原子的存在使得沿各平面的同时滑移显著地困难了,因此,正如本文所揭示的,滑移机构的作用在加入較少的加入剂时受到強烈的延誤这是毫不足为奇的。可是外来原子的浓度低几乎不影响扩散速度;并且可以預期,随着合金加入剂的含量增多扩散相变的作用愈来愈大,而以滑移机构为基础的相变的影响愈来愈小。

怀特^[10]对一系列鉻合金的研究以及該項研究都表明了:由两个C形区組成的等温相变曲線的下C形区可以与純钛的C形曲線等同起来,即是相应于滑移法相变。上部区域具有众所熟知的由形成晶核及扩散过程所决定的形状,这点可以由在上部綫段温度时发生相变的結果产生平衡晶粒的結構証明。C形曲線在两个因素的作用下产生:即形成晶核(其数量随温度下降而增多)及扩散(起的作用随温度上升而增大)。曲線的最下部分相应于混合針状-等軸結構,这可以做为下列观点的証明:根据这个观点,达到亚显微成长度的晶核是在滑移过程中发生的。在更高的温度,由于生成晶核的速度大及它們靠着扩散生长很慢,所以产生大量細的等軸晶粒。

所有研究过的合金加入剂都具有降低任意冷却速度时的相变温度的趋势和減低相变速度的趋势,然而它們在这方面的效果差別很大;例如,鉻有很显著的影响,而加入同样数量的鋨几乎不引起任何变化。从研究相图可以做出某些总结:在相变时显著改变溶解度的那些元素如:鐵、鉻、硅等的影响比起象鋨、铌等这些局部溶解于低温相中的元素大得多。

可是根据这些,目前尚不能确定任何定量的关系。

如果加入剂对钛点陣的影响是并不能太強烈地阻碍滑移,那末在滑移温度范围及形成晶核及扩散的温度范围之間就不会有明显分界了。在这种情况下,在低于上C形区的“鼻子”处的温度范围内相变时,是不可能得到等軸的細晶粒結構的,因为晶粒長大会依靠滑移过程而部分地进行。

由此,得出下列結論:如果在等温相变图上在两个C形区之間有相当大的間隔,那末

正如上面所討論的，在略低于上区“鼻子”处温度的相变会导致等軸的細晶粒結構。

自高温相区淬火达到滿意地細磨，这无疑的不只是因晶核扩散长大所致。可以从下面得到証明：在所得的結構中发现很不圓滑的晶界，这种晶界在用晶核扩散长大法細磨所得到的合金中是没有的。把含 1 原子% V 的鈾合金 γ 淬火之后（參閱图 23）的顯微結構及含 0.5 原子% Cr 的鈾合金經受过等温热处理后的顯微結構（參閱图 12, 6）做一对比，对这一点看得就特別清楚了。晶粒細化的原因显然是由于形成了大量的晶核，因此它們当中的每一个晶核只能长大得不多、結構中有很強的应力，因此在退火时，除去松弛应力之外，还发生少量扩散，这扩散引起晶粒“变圓”。高純度鈾退火的时候会发生再結晶，并出現等軸結構。如果相变是同时以“滑移机构”及扩散法产生的，那末系統立刻就过渡到无应力状态，且晶粒边界就不会变圓滑了。为了要使 β 淬火产生滿意的晶粒細磨，则降低一些 $\beta \rightarrow \alpha$ 相变的温度起着重要作用；在較高的温度相变时，甚至是在进行滑移的范围之内，也不会产生滿意的結果。相变时间与温度間关系曲綫以及进行淬火的結果都証明这个觀点正确，虽然較短得多的相变時間是更适宜于 β 淬火的条件的。可以設想，如果等温相变曲綫表示在 400°C 左右时相变不能在 10 秒鐘内开始，那末 β 淬火可以得到預期的效果。但是如果相变延遲到在接近室温才发生，那末这时就可能产生更粗大的晶粒，且通常都产生淬火裂紋（例如：在含 0.5 原子% Mo 及 0.5 原子% Cr 的鈾合金中）（參閱图 26, 8）。裂紋的发生是由于在 α 鈾及 β 鈾較脆的温度发生相变过程，在过程中有引起体积变化的应力。如果合金中开始相变的温度延遲到相当低的温度，则晶粒細磨作用可以在冷却速度的中間值处发生，例如：在硬模鑄造过程中。含 2 原子% V 的鈾合金就有这种情况发生（參閱图 25）。

在較复杂的合金中，主要有兴趣的問題是：加入一系列的合金元素，它們的作用可否是大于相加性的？个别加入的元素之間互相影响是无疑的了，正如由实验所証明了的事實可以看到的那样，也就是在那个实验中鐵对 0.5 原子% Cr 的鈾合金的不利影响被鋁所中和，而被鉻及銅的同时共存所大大加強。后者似乎特別令人奇怪，如果考慮到单是一种銅的影响非常小，而且非常象这两个元素合在一起对鋼热处理的影响。在加入各种加入剂时合金行为的改变以及很有限的数据資料使得我們不能导出任何能够預測合金行为的一般規律。

为了一定的目的来选择合金，数据可能是不够的，例如只是根据物理及机械性能，此时就必需也从合金的工艺性出发来做选择。如果比較两种合金，其中之一是直接淬火处理的，另一个是要用等温处理的，那末后面的一种便具有一系列的优点，因为：

- 1) 可以对得到的产物小心地控制；
- 2) 相当大量的杂质对热处理过程影响很小，这在处理富集的或再生金属时 特別有利；
- 3) 所得产品质量通常都是均匀的，且自溶液析出杂质或是已經完成，或是在相变溫度时用較長時間的保温办法在同一的这个处理过程中可能完成。